

大阪市立大学工学部 正員 三笠 正人
大阪市総合計画局 ○高野 風

粘土の荷重一歴下の関係特に圧密降伏荷重 P_0 と圧縮指教 C_c の値は歴下計算において最も重要なものであるがこれらに関する知識はまだ乏しい。 C_c に関してはスケンプトンの式があるくらいで P_0 に関しては「先行荷重」に等しいという旧態依然たる知識がいまだに横行している現状である。

筆者らはこれらの量の特性を明らかにするために今までの調査資料を再整理して求めた P_0, C_c の値を検討し、また広い荷重範囲にわたる一連の圧密試験を行なってこれと比較することにより P_0, C_c に及ぼす時間効果の大きさを調べた。その結果のあらましを報告する。

1. こねかえし粘土の圧密特性

a) 実験方法

- ・ 低圧圧密実験 : 非常に柔らかいヘドロを詰めゴムスリーブに入れ水(荷重範囲 $0.01 \sim 0.45\text{kg}$)をかけて圧密を行なつた。(図-1(a)参照)
 - ・ 中圧圧密実験 (荷重範囲 $0.05 \sim 8.0\text{kg}$) : 普通の圧密試験機により低圧圧密終了試料とヘドロについて行なつた。
 - ・ 高圧圧密実験 (荷重範囲 $8.0 \sim 90\text{kg}$) : 普通の圧密試験機のリングの直径を小さく($\phi 2\text{cm}, 3\text{cm}$)して高圧をかけ得るようにした。時に側面摩擦を小さくするためにリング内面にテフロンを張り更にリングの側面摩擦を補正するためには三本足を取りつけその裏側にストレーンゲージを張り、これを読みとつた。(図-1(b))
- b) 結果のあらまし : 図-2に低圧圧密実験の結果の一部を示すが LL の高いものほど、又初期含水比の大きいものほど P カーブが上にきていることがわかる。荷重段階の低い所で C_c が小さくなる傾向が見られるが、普通の圧密試験の結果では逆の傾向を示している。(理由は不明)

図-3はLLの異なるらつの試料をLLの2倍程度の初期含水比でこねかえし處荷荷重 $0.01 \sim 90\text{kg}$ の広い範囲にわたる圧密実験を行なつた。

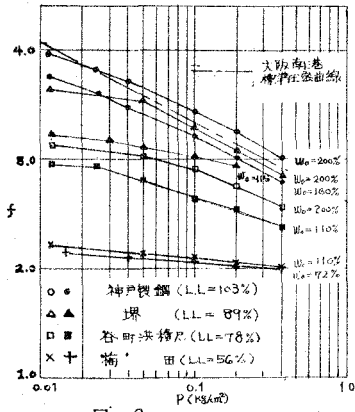


図-2

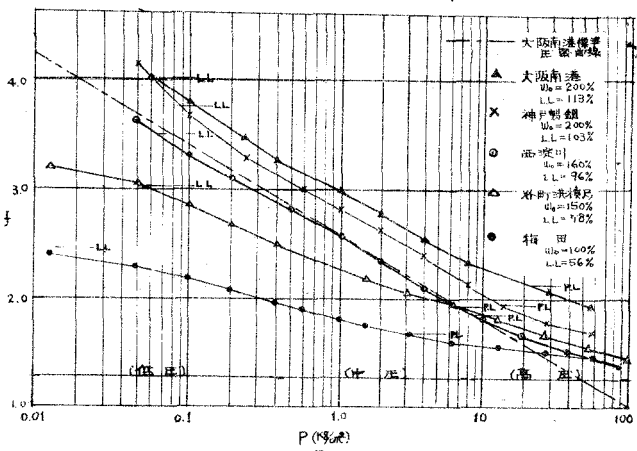


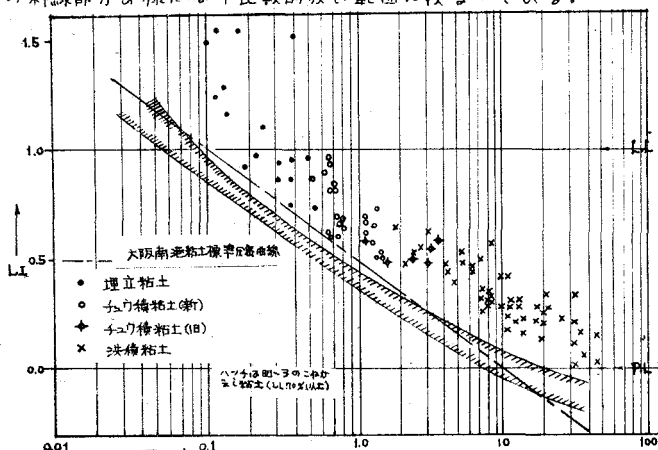
図-3

に結果である。低圧、中圧、高圧の3つにリレーして行ったがほぼ連続したカーブを得ることが出来た。ただし高圧圧密の領域では C_c がかなり小さくなっている。又図-3のナーラカーブを十の代りに液性指数LIを用いて表わすと図-4の斜線部分の様になり比較的狭い範囲に收まっている。

2. L.I. ない粘土の圧密特性

a) 圧密降伏荷重 P_0 について

既存の調査資料から得られた P_0 (三番の提案した方法による) を L.I. を縦軸にとりプロットしたもののが図-4であるが乱れない粘土の P_0 はこねかえし試料の値(斜線部)の値よりも大きいことが見られる。これは時間効果の影響によるもので特に洪積粘土では ΔP_0 が大きい。



b) 工場指

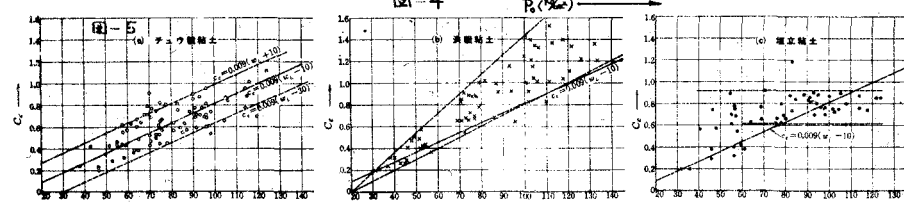
と C_c について

て : C_c

と L.L. の関係

は図-5のよ

うになり埋立

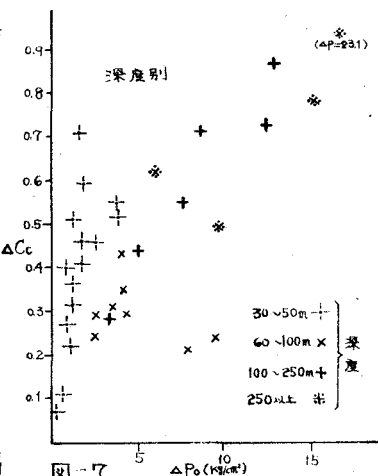
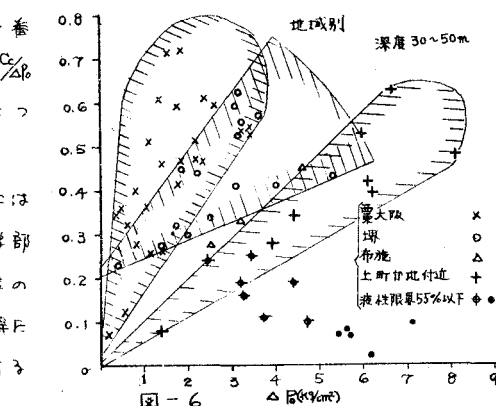


粘土の C_c はほとんど水平に並くちらほつているが洪積層ではスケンプトンの線の上にあり、これはあきらかに ~~は~~ 離れ堆積年代の相違による時間効果によるものである。

C) ΔP と ΔC_c について : 時間効果による P_0 の増分と ΔC_c (ΔP は調査資料の P_0 と工方がより左の差として求め、 ΔC_c は既存調査資料の C_c を同じ L.L. を有するこねかえし試料の C_c の差として求めた) の関係を求めたものが図-6,7である。図では一応地域別に分けてあるが $\Delta C_c / \Delta P$ が異なるのは成年年代のちがいによる

と解釈される。一番新しい洪積層の $\Delta C_c / \Delta P$ が大きいのが目につく。

なおこの実験には
大阪市立大学工学部
学生、井筒威久君の
多大なる協力を仰げ
ことを深く感謝する
次第である。



参考文献 : 1) 三笠 正人「日本の地盤における構造の概要」(つづり), 第1回日本地質討論会(1962) 3) 甲子年「軟弱粘土の圧密計算」(1973-機関), 第1回日本地質討論会(1962)